

CIA



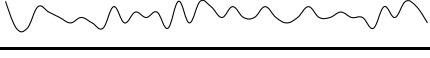
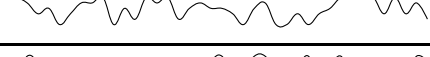
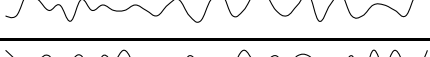
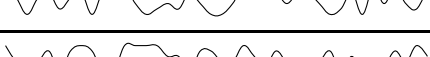
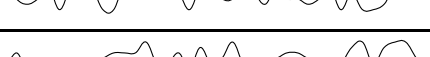
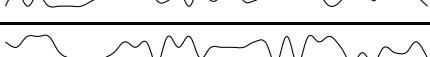
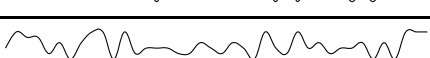
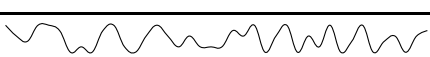
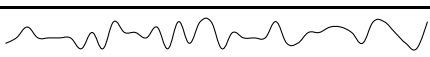
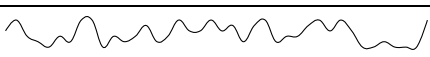
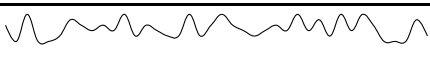
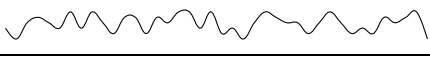
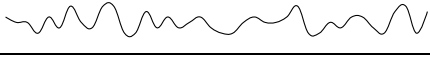
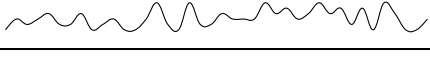


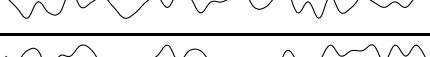
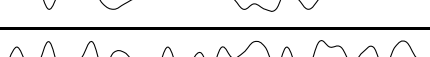
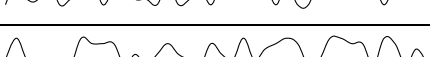
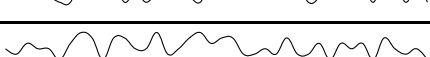
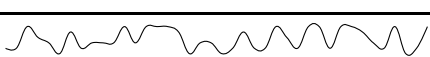
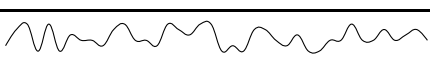


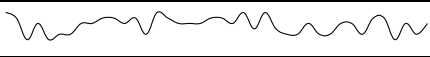
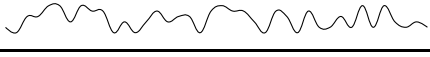



CENTRAL INTELLIGENCE AGENCY



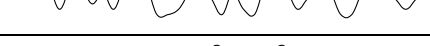
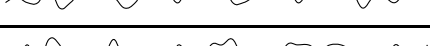
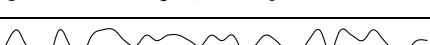



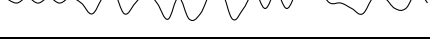
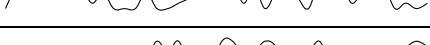
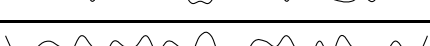
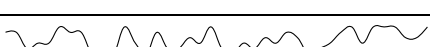





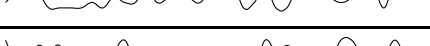
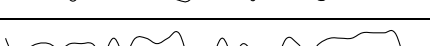
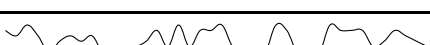










Operace: GHOST VERTEX

Lokace: Základna CIA, Hoštejn

ID: 0731910262

Datum	Čas	Záznam signálu	Zaznamenané lokace
2022/08/04	01:31:25		P18, Y15, N5, E19, J1, M17
2022/08/04	02:13:42		E1, K8, Y21, B2, X6
2022/08/04	10:25:37		E17, C24, Q20, U11, P24
2022/08/04	18:15:27		T17, K11, G18, J6, N13
2022/08/04	21:31:20		D3, Z4, Y8, A22, N1, Y5
2022/08/05	00:24:51		U25, K4, N20, M10
2022/08/05	02:54:34		E17, A4, V11, V25
2022/08/05	12:31:33		N10, K11, R14, K24, L6
2022/08/05	17:49:31		S16, C11, V1, D15, P5
2022/08/06	00:58:34		R8, P5, T2, T25, V9, F9
2022/08/06	12:52:59		Y26, A24, D15, J25, X25, X14
2022/08/06	18:09:33		R9, T16, J15, B5, U25, U2
2022/08/06	21:35:01		I7, Y17, U8, D2
2022/08/07	05:02:38		S24, R9, S15, D25, L6, Z6
2022/08/07	08:29:08		I20, C14, D20, A23, T14, G12
2022/08/07	17:21:15		Z3, E21, D8, X20, K12
2022/08/07	20:38:57		A21, B25, C3, L22, R5
2022/08/07	22:38:07		N20, X3, H19, K8
2022/08/08	00:36:21		D7, N2, U17, V19
2022/08/08	01:38:08		Y19, V21, H17, V18
2022/08/08	08:24:47		R2, C14, A16, Z6, I23, V5
2022/08/08	11:32:46		O24, C14, S21, K8, N18, F2
2022/08/08	13:37:02		H25, N6, I8, T18, R10, B3
2022/08/08	20:52:46		Q7, J15, F25, U24, R21
2022/08/09	00:56:14		P10, L1, G5, D9, Q26
2022/08/09	04:13:07		Y10, Y6, A1, L20, X26, V21
2022/08/09	11:05:48		J11, N14, G21, Y12
2022/08/09	20:06:53		W26, F22, E3, M6, B25
2022/08/09	21:42:31		L18, F19, S22, X10, H1
2022/08/10	00:46:33		I12, P23, T11, Q24, U7, A3
2022/08/10	11:54:46		K17, F8, I13, Z21, G17

Datum	Čas	Záznam signálu	Zaznamenané lokace
2022/08/10	12:12:57		G13, F5, Q24, Q25, K6, C18
2022/08/11	02:28:05		Y11, T6, O9, I12, K4
2022/08/11	05:41:27		C23, V10, Y9, U18
2022/08/11	10:58:09		V15, P18, R9, Q21, J2, Z14
2022/08/11	11:53:25		W12, K15, U11, K4
2022/08/11	18:48:30		G2, C20, G1, U23, W1, E17
2022/08/12	02:29:29		H7, I8, E17, M5, B11, S4
2022/08/12	03:47:13		I12, K14, W8, Y12, J22, E17
2022/08/12	23:17:28		R25, J7, Y7, E24, B9, X22
2022/08/13	19:21:06		E5, D22, P9, F18, L10
2022/08/13	23:39:57		K2, S10, D19, Q2, X3
2022/08/14	01:13:15		Y13, F21, L17, R23, V14, H23
2022/08/14	03:05:37		F18, N24, T14, C18, S21
2022/08/14	06:23:53		F15, U8, V16, S1, W17, R25
2022/08/14	15:49:08		K2, T6, B1, R4, T1
2022/08/15	05:23:06		V19, U2, N19, I1, X21, G22
2022/08/15	06:45:37		H8, W23, O22, V7, Q24, E15
2022/08/15	09:29:10		W23, Z16, J7, W24, L25, V16
2022/08/15	11:38:50		A16, O7, T11, P3, E17
2022/08/15	19:54:27		F20, N8, B26, F26, V11, T23
2022/08/16	05:49:04		H8, E17, C5, D8, F11
2022/08/16	07:49:09		Y17, R3, X19, F10, G19
2022/08/16	10:04:12		O7, K11, R26, R9, N21, D17
2022/08/16	22:37:54		I21, D11, J24, Y7, Z5, S17
2022/08/16	23:41:33		V17, X15, B26, Y20, J5
2022/08/18	01:59:59		U11, F11, P20, E3, F16, X23
2022/08/18	18:25:34		D21, Q6, V3, W1, V1, F12
2022/08/18	23:00:06		R15, X21, G17, X22

OPERACE HEXAHEDRON

Operace Hexahedron slouží k monitorování elektromagnetického záření v radiovém spektru vyzařovaného Objektem. V okolní oblasti bylo ve dnech 4. – 6. 8. 2022 vybudováno celkem 6 měřících stanic, které jsou strategicky rozmístěny, aby eliminovaly rušení způsobené hustým lesním porostem.

K dosažení maximální přesnosti je nutné potvrdit zdrojovou lokaci požadovaného signálu na 3 měřících stanicích. Korektní oblast původu záření je ta, která byla naměřena každou z těchto 3 stanic.